

Письма в ЖТФ, том 15, вып. 7  
05.2; 05.4

12 апреля 1989 г.

## РАДИОЧАСТОТНЫЙ РАЗМЕРНЫЙ ЭФФЕКТ В БЛИЗИ $T_c$ В ВЫСОКОТЕМПЕРАТУРНЫХ СВЕРХПРОВОДНИКАХ

Э.В. Ижик, А.Я. Кирichenko,  
Ю.Ф. Ревенко, В.М. Свистунов,  
Н.Т. Чепрак

При экспериментальном исследовании ВТСП керамик типа  $RBa_2Cu_3O_{7-\delta}$  ( $R = Y, Yb, Gd, Tm$ ) в высокочастотных (ВЧ) электромагнитных полях в области  $T < T_c$  обнаружены особенности, которые проявляются в нарушении монотонной зависимости ВЧ поглощения от  $T$  [1] и различным образом зависят от амплитуды и частоты поля. Последнее указывает на различную природу этих особенностей.

Одна из указанных особенностей проявляется при повышении амплитуды поля и, по-видимому, обусловлена наличием слабых связей между гранулами [2]. Вторая особенность не зависит от амплитуды ВЧ поля в интервале значений  $H = 1-0.03$  Э, однако сильно зависит от толщины и плотности образца, либо при заданной толщине от частоты поля.

С целью выяснения физической природы этой особенности проведены специальные измерения поглощения в образцах керамики.

$YBa_2Cu_3O_{7-\delta}$  различной толщины и на различных частотах. Образцы изготовлены по обычной технологии в виде двух дисков с характеристиками: толщина  $d_1 = 3.63$  мм,  $d_2 = 2.13$  мм и плотность  $\rho_1 = 4.54$  г/см<sup>3</sup>,  $\rho_2 = 3.63$  г/см<sup>3</sup>. Измерения проводились в интервале температур  $T = 300-77$  К в диапазоне частот  $f = 1-10$  МГц. Диск керамики размещался на торце плоской индукционной катушки с  $L = 3.4-100$  мкГн, намотанной на лейкософировый сердечник. Мерой поглощения энергии в образце является изменение доброт-

ности  $Q = 2\pi f L / R_k$  колебательного контура, где  $L$  и  $R_k$  – индуктивность и сопротивление контура, учитывающие влияние образца. Измерялись температурные зависимости  $Q(T)$  и  $L(T)$  при фиксированной частоте.  $T_c$  определялась по началу сверхпроводящего перехода (СП) из резистивных измерений и по кривым  $L(T)$ .

Для образцов, толщина  $d$  которых на выбранной частоте измерений превышает глубину скин-слоя  $\delta$  при  $T=300$  К, при переходе образца в СП состояние на температурных зависимостях обычно наблюдаются резкое повышение добротности  $Q$  и снижение индуктивности контура. Кривые 1 и 2 на рис. 1, а являются типичными для рассматриваемого случая и качественно соответствуют аналогичным зависимостям, получаемым различными методами в широком диапазоне радиочастот [3]. Они приведены для первого образца, измеряемого при  $f = 7.95$  МГц. Кривой 5 (для сравнения) приведена зависимость относительного изменения  $R$  – сопротивления на постоянном токе, полученная из резистивных измерений по четырехточечной схеме.

Понижение частоты измерений до  $f = 1.66$  МГц приводит к нарушению монотонности в изменении  $Q(T)$  (кривая 3) при качественном сохранении зависимости  $L(T)$  (кривая 4). При этой частоте глубина скин-слоя  $\delta$  уже превышает толщину образца при комнатной температуре. Последнее легко определяется по возмущению  $Q$  и  $L$  медным образцом, располагаемым у противоположной по отношению к катушке индуктивности стороне керамического диска. Общее снижение добротности на более низкой частоте и относительно более сильное изменение индуктивности связаны с изменением характеристик катушки индуктивности в частотном диапазоне измерений. Следует отметить, что в области  $T=(80-85)$  К может наблюдаться некоторое нарушение монотонности зависимости  $Q(T)$  (см. рис. 1, а), существенно зависящее от амплитуды ВЧ поля. При снижении  $H$  до 0.03 Э особенность исчезает, тем самым позволяя интерпретировать ее как дополнительные потери, обусловленные разрывом связей между гранулами [2].

Снижение толщины образца и его плотности сопровождается углублением минимума на кривой  $Q(T)$  и смещением его в область более низких температур. В подтверждение этого на рис. 1, б приведены зависимости  $Q(T)$  и  $L(T)$  для второго образца меньшей толщины и плотности, измеренные на тех же частотах  $f = 7.95$  МГц (кривые 1, 2) и  $f = 1.66$  МГц (кривые 3, 4) соответственно. Зависимость  $L(T)$  при этом не претерпевает качественных изменений. Примечательно, что снижение частоты, сопровожданное возрастанием отношения  $\delta/d > 1$  для образца, находящегося в нормальном состоянии, приводит к заметному снижению потерь, т.е. повышению  $Q$  (кривая 3), что находит естественное объяснение в рамках представлений о зависимости ВЧ поглощения от  $f$ , когда  $\delta$  превышает  $d$ .

Исследуемые образцы являются однофазными со слабой „металлической“ зависимостью  $R$  от  $T$  в нормальном состоянии. Это означает, что при охлаждении образца до  $T=T_c$   $\delta$  медленно

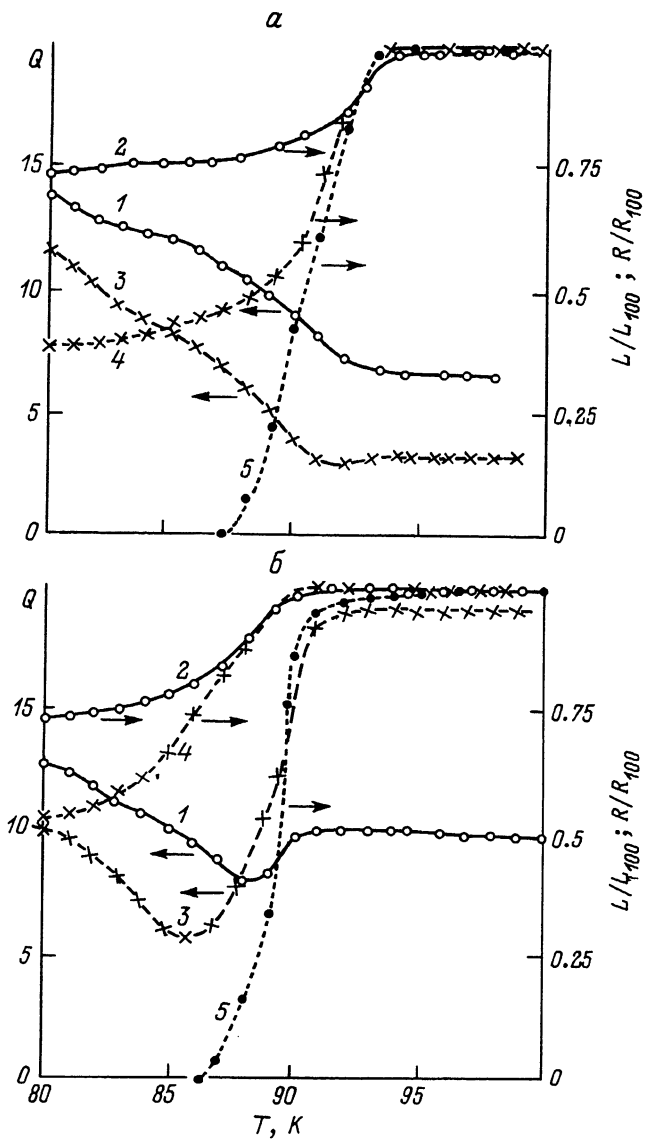


Рис. 1. Зависимости  $Q(T)$  и  $L/L_{100k}$  ВТСП-керамических образцов на частотах  $f = 7.95$  МГц (сплошные кривые) и  $f = 1.66$  МГц (пунктирные кривые), а также зависимость  $R/R_{100k}$  (точки) а) для первого образца ( $d_1 = 3.63$  мм,  $\rho_1 = 4.54$  г/см<sup>3</sup>); б) для второго образца ( $d_2 = 2.13$  мм,  $\rho_2 = 4.17$  г/см<sup>3</sup>).

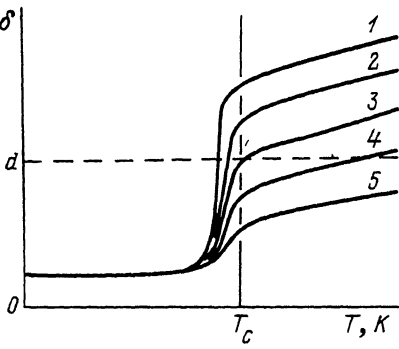


Рис. 2. Характер изменения скин-слоя  $\delta$  с температурой  $T$  вблизи СП перехода для нескольких значений частоты  $f$ .

уменьшается до некоторой величины  $\delta(T_c)$ , а затем резко снижается в области СП перехода до значений  $\delta_s(T)$ .

Можно качественно представить зависимость глубины  $\delta$  скин-слоя образца с толщиной

$d$  (рис. 2, штриховая горизонтальная прямая) при изменении  $T$ . Параметром кривых является  $f$ , минимальная для верхней кривой (1) и повышающаяся с ростом номера на рис. 2.

Если выполняется условие  $\delta(T) > d$  при комнатной температуре (кривые 1 и 2), то при некоторой температуре в области СП перехода  $\delta(T)$  сравнивается с  $d$  образца. В случае  $\delta(T) < d$  при  $T \approx 300$  К (кривые 4 и 5) указанное обстоятельство не может иметь места. Кривой 3 соответствует промежуточный случай, когда  $\delta(T_c) = d$ . Очевидно, что условие  $\delta(T) = d$  в области СП перехода слабо зависит от  $f$  в силу двух причин: резкой зависимости  $\delta(T)$  в этой области и отсутствия дисперсии  $\delta_s$  [4]. Следовательно, наблюдаемый минимум  $\delta(T)$  в области СП перехода можно полностью объяснить размерным радиочастотным эффектом. Особенность в радиочастотных потерях при  $\delta(T_c) = d$  возникает за счет различия в механизмах, приводящих к изменению потерь энергии в катушке с образцом ВТСП на высоких и низких частотах, т.е. при  $\delta < d$  и  $\delta > d$ . Как видно из рис. 2, условие  $\delta = d$  может выполняться и при  $T > T_c$  (см., например, кривую 4). Однако в силу слабой температурной зависимости импеданса при  $T > T_c$  размерный эффект является весьма слабо выраженным и не всегда четко наблюдаемым.

Обнаруженный эффект в ВТСП при  $T \leq T_c$  аналогичен эффекту, наблюдавшемуся в нормальном металле при изменении статического магнитного поля [5]. Следует подчеркнуть, что в [5] при теоретическом анализе авторами использовано условие: ВЧ поле на противоположных сторонах металлической пластины имеет противоположную поляризацию, в результате чего появилось условие наблюдения эффекта  $2\delta = d$ . В [6] воспроизведена геометрия опыта [5] для ВТСП и получены аналогичные результаты.

В настоящей работе в отличие от [5, 6] имеет место одностороннее облучение образца, поэтому особенность проявляется при

$\delta(T) = d$ . Условие наблюдения облегчается резким изменением  $\delta(T)$  в широком интервале значений (от  $\delta(T_c)$  до  $\delta_s(T)$ ).

Наблюдаемый эффект позволяет непосредственно определять глубину скин-слоя  $\delta$  вблизи  $T_c$ . Например, для образца 1  $\delta(T) = 3.6$  мм на частоте  $f \geq 3$  МГц при  $T = 92$  К. Эффект должен наблю-

даться во всех материалах, включая пленки. Он может оказаться полезным при исследовании температурной и полевой зависимости  $\delta$ , важных для изучения природы сверхпроводимости в материалах с высоким значением  $T_c$ . Слабые магнитные поля  $H < 150$  Э не влияют на глубину и положение минимума. Отсюда следует, что слабые магнитные поля не влияют на  $\delta$  при  $T \leq T_c$ .

### Список литературы

- [1] Кириченко А.Я., Черпак Н.Т. В сб.: Твердо-тельная электроника миллиметрового и субмиллиметрового диапазонов, Харьков: ИРЭ АН УССР. 1988. С. 112-116.
- [2] Свистунов В.М., Ревенко Ю.Ф., Григутъ О.В., Таренков В.Ю. В сб.: Проблемы высокотемпературной сверхпроводимости, Информ. мат. Свердловск: УрО АН СССР. 1987. ч. 2. С. 104-105.
- [3] Кириченко А.Я., Черпак Н.Т. // Препринт ИРЭ АН УССР. № 369. Харьков. 1988. 27 с.
- [4] Kautz R.L. // J. Appl. Phys. 1978. V. 49. N 1. P. 308-312.
- [5] Fisher H., Kao Y.H. // Solid State Commun. 1969. V. 7. N 2. P. 275-277.
- [6] Жеребчевский Д.Э., Чабаненко В.В., Моисеева Т.Н. // Препринт ИМФ АН УССР. № 13.88. Киев. 1988. С. 32-33.

Институт радиофизики  
и электроники АН УССР,  
Харьков

Поступило в Редакцию  
14 октября 1988 г.  
В окончательной редакции  
9 февраля 1989 г.

Письма в ЖТФ, том 15, вып. 7  
09.

12 апреля 1989 г.

### ЭКСПЕРИМЕНТАЛЬНОЕ ИССЛЕДОВАНИЕ БИФУРКАЦИЙ НА ПОРОГЕ СТОХАСТИЧЕСКОЙ СИНХРОНИЗАЦИИ

А.Р. Волковский, Н.Ф. Рульков

Известно [1], что связь, накладываемая на системы с индивидуальной стохастической динамикой, может приводить к синхронизации стохастических колебаний. Несмотря на наличие работ, в которых рассматривается это явление,<sup>1</sup> остаются неисследованными бифуркации, определяющие переход к такому режиму. Тем самым остается открытым вопрос о возможном характере границ зоны стохастической синхронизации.

<sup>1</sup> См., например, [2-4].